

京都大学工学部 正 酒井吉郎, 正 亮道雄一, 杉本俊一

1. まえがき 昨年度の海岸工学講演会において、流れによる波の屈折と波高変化に関する数値計算法と簡単な流れの場合に対する理論を紹介した。数値計算結果と理論結果を比較した結果、両者はほぼ一致するが、特性曲線に沿う計算において、その進行とともに次第に両者の値の相違が顕著になることを示した。ここでは、その原因となる数値計算法上の問題について、検討し改良した結果について述べる。

2. 数値計算法の問題点 (1) 波向 流れの中における波向 $\theta$ の変化は、波数 $k$ の非回転の条件、運動学的保存式および相対的な波速 $C_*$ を与える微小振幅波の関係から得られる。その関係式を、式(1)で与えられる流速 $U$ ,

$$\frac{dx}{dt} = U + C_* \cos \theta, \quad \frac{dy}{dt} = V + C_* \sin \theta \quad \dots \dots (1)$$

$$\frac{d\theta}{dt} = \frac{\partial (q_c + C_*)}{\partial x} \cdot \sin \theta - \frac{\partial (q_c + C_*)}{\partial y} \cdot \cos \theta \quad \dots \dots (2)$$

$$q_c = U \cos \theta + V \sin \theta \quad \dots \dots (3)$$

$$\begin{aligned} \frac{d\theta}{dt} = & (-\frac{\partial U}{\partial y} \cos \theta + \frac{\partial U}{\partial x} \sin \theta) \cos \theta \\ & + (-\frac{\partial V}{\partial y} \cos \theta + \frac{\partial V}{\partial x} \sin \theta) \sin \theta \\ & + (-U \sin^2 \theta + V \sin \theta \cos \theta) \cdot \frac{d\theta}{dt} \\ & + (-U \cos^2 \theta + U \sin \theta \cos \theta) \cdot \frac{d\theta}{dt} \quad \dots \dots (4) \end{aligned}$$

$V$ と波速 $C_*$ のベクトル和の方向に進行する径路から見た $\theta$ の時間的変化で書き改めると、式(2)で与えられるArthur(1950)の関係と若干異なる式が導かれる。

ここで $q_c$ は図-1で示しているように流速の波向方向成分である。その相違は、式(3)の $q_c$ の関係を式(2)に代入して得られる式(4)中の下線部分が、上述の波数の非回転の条件から得られる関係で

は現われない点にある。実際の数値計算においては、式(2)の $q_c + C_*$ の変化率の計算の場合に、計算中の径路の計算点を固む4つの格子点(図-2)で共通の $\theta$ を用いているので、この余分な項は無視したことになる。

つぎに式(4)の第5項を考える。 $C_*$ は式(5)で与えられ、例えば $\partial C_*/\partial y$

$$C_* = (g/k \cdot \tanh(kh))^{1/2} \quad \dots \dots (5)$$

$$\begin{aligned} \frac{\partial C_*}{\partial y} = & 1/2 \cdot \left\{ g/k \cdot \tanh(kh) \right\}^{-1/2} \times \\ & \times \left\{ g/(2\pi) \cdot \tanh(kh) \cdot \frac{\partial L}{\partial y} + \right. \\ & \left. + g \cdot kh^2/(bh) \cdot (-kh/4\pi \cdot \frac{\partial L}{\partial y} + kh/2y) \right\} \quad \dots \dots (6) \end{aligned}$$

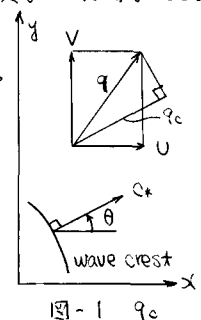
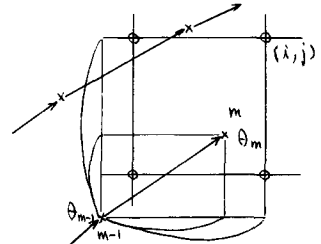
$$L = gT^2/(2\pi \cdot \tanh(2\pi h/L)) \cdot (1 - TU \cos \theta/L)^{-2} \quad \dots \dots (7)$$

$$\begin{aligned} \frac{\partial L}{\partial y} = & gT^2/(2\pi) \cdot \text{sech}^2(kh) \cdot (k \cdot kh/2y - kh/2\pi \cdot \frac{\partial L}{\partial y}) \times \\ & \times (1 - TU \cos \theta/L)^{-2} \\ - & gT^2/\pi \cdot \tanh(kh) \cdot (1 - TU \cos \theta/L)^{-3} \times \\ & \times (TU \cos \theta/L^2 \cdot \frac{\partial L}{\partial y} - T \cos \theta/L \cdot \frac{\partial U}{\partial y} + TU \sin \theta/L \cdot \frac{\partial \theta}{\partial y}) \quad \dots \dots (8) \end{aligned}$$

を計算すると式(6)のようになる。式(6)中の $L = 2\pi/k$ は流れの中における波長であって、その表現は波数の運動学的保存式より、簡単のために $V=0$ とすると、式(7)で与えられる。ここで $T$ は流れのない領域での波の周期である。これから $\partial L/\partial y$ を計算すると、式(8)のようになり、 $C_*$ の変化率の項も $\theta$ の変化率の項

$T \cdot U \sin \theta/L \cdot \partial \theta/\partial y$ を含んでいることがわかる。すなわち数値計算では、式(4)の第5項中に含まれる $\theta$ の変化率の効果も無視したことになる。

このように、流れによる波の屈折の場合には、波向の変化を与える式(2)の右辺中に、求めるべき波向 $\theta$ の変化率が含まれてあり、これが水深変化のみによる屈折の場合との大きな相違である。そのため、Noda(1974)は式(2)のような変形をせず、波数の非回転の式を直接格子点上で解く方法をとっている。ただしNodaの方法では、沖側境界の他にいずれかの側方境界で境界条件を設定するか、又は沿岸方向に現象が周期的であるという条件を加える必要があるので、この方法は現実的ではない。Noda自身も、このような条件が不要で、ここで取

図-1  $q_c$ 図-2 格子点(i,j)における $\theta$ の直角補角

つては上述のような問題を含んでいる。

(2) 波高 波高の変化は、式(9)で与えられる流速と流れに相対的立波の群速度  $C_{gr}$  のベクトル和の方向に進行

$$dx/dt = U + C_{gr} \cdot \cos \theta, \quad dy/dt = V + C_{gr} \cdot \sin \theta \quad \dots \dots (9)$$

$$\begin{aligned} dE/dt = E & [ \partial U / \partial x + \partial V / \partial y + \frac{\partial C_{gr}}{\partial x} \cdot \cos \theta + \frac{\partial C_{gr}}{\partial y} \cdot \sin \theta ] \\ & + C_{gr} (-\sin \theta \cdot \partial \theta / \partial x + \cos \theta \cdot \partial \theta / \partial y) \\ & + \{ C_{gr} / C_* \cdot \cos^2 \theta + 1/2 \cdot (2C_{gr}/C_* - 1) \} \partial U / \partial x \\ & + C_{gr} / C_* \cdot \cos \theta \cdot \sin \theta \cdot (\partial V / \partial x + \partial U / \partial y) \\ & + \{ C_{gr} / C_* \cdot \sin^2 \theta + 1/2 \cdot (2C_{gr}/C_* - 1) \} \partial V / \partial y \end{aligned} \quad \dots \dots (10)$$

+ 3 径路から見た波のエネルギー - E の時間的変化式(10)と(1)を比較する。この関係は、Longuet-Higgins and Stewart (1961) が最初に与えた流中の中ににおける波のエネルギーの平衡式を变形したものである。数値計算では下線部分の  $C_{gr}$  の勾配の計算において、計算点を含む4つの格子点で共通の  $\theta$  を用いている。 $C_{gr}/C_*$  についても、 $\theta$  が関係することは明らかである。

$\theta$  の変化率の効果を無視したことになる。

3 敷值計算法の改良 波向の変化の式(2)を用いて図-2 の点  $m$  のつきの計算点  $m+1$  での  $\theta$  の値を計算する場合、 $C_*$  の変化率の値は図-2 の計算点  $m$  を囲む4つの格子点  $T$  の  $C_*$  の値から求めますが、その際4つの格子点での  $\theta$  の値は、2. で述べたように共通の値ではなく、 $\theta$  の変化をも考慮した4つの値を用いる必要がある。図-2 の上側の径路の計算点についてではなくて計算が終り、現在計算中の径路は点  $m+1$  まで終り、それより下側の径路はまだ未計算である。4つの格子点での  $\theta$  の値はこれらの中でも計算が終っている計算点での波向  $\theta$  の値から補間して求めることにする。補間の方法としては多くのものが考えられるが、ここでは最も簡単な一次補間を考える。この場合、補間すべき格子点の近傍の計算点の3つの計算点  $T$  の  $\theta$  の値をもとにすれば格子点での  $\theta$  の値は補間できるが、ここでは敷值計算の簡単さから、現在計算中の径路の1つ前の計算点  $m-1$  でのまでに計算された  $\theta$  の値  $\theta_{m-1}$  と点  $m$  での値  $\theta_m$  から補間することとした。図-2 には、例として右上の格子点 ( $x, y$ ) における補間の様子を示しているが、他の格子点の場合も含めて、一般に  $x, y$  2方向の補間が考えられる。(ただし、両者による補間値の平均値によって、最終的な補間値とした。なお、波高の変化式(10)中の  $C_{gr}$  の変化率の計算においては、すでに計算のちんだ波向計算結果を用いて、計算点を囲む4つの格子点での  $\theta$  の値を補間した。図-3は、上述の改良を行った敷值計算法による求められた結果と、従来の計算結果とを比較したものの一例である。この場合は、水深が 5m と一様な港域で、図の上部に示したような  $\theta$  方向に一様に増加する  $\theta$  方向成分  $U$  の下の流れに波高 1m の波が斜めに入射(  $\theta$  の正の軸を反時計回り)した場合である。従来の計算方法による結果に比べて、修正した方法による計算結果は理論結果とはほぼ一致しており、とくに波高的計算結果においては改善の効果は顕著である。

最後に、図-3 中に示す(4)の式3, 4 項を含めた Arthur の与えた波向変化的関係式を用いた結果も示しているが、図から明るかでない一般的に Arthur の提案した式は用いられないといふべきである。

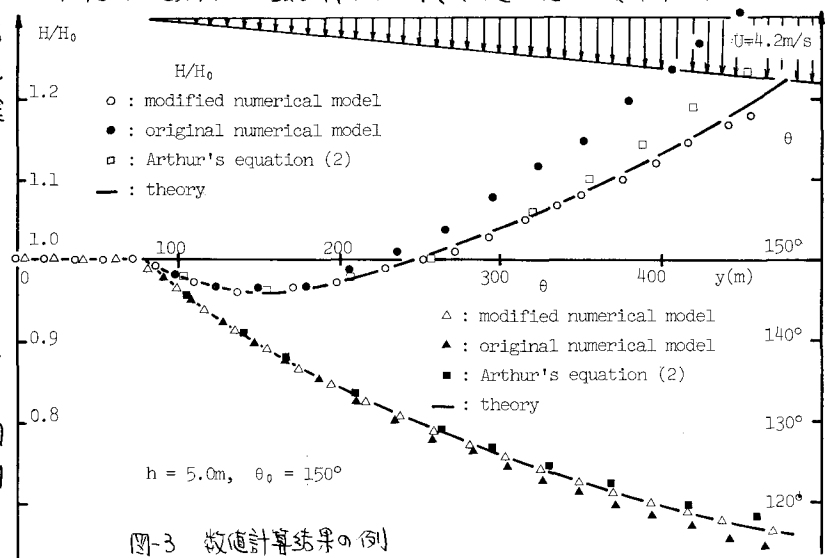


図-3 敷値計算結果の例